

# GS変形について

河野 正晴 (北見工業大学工学部)

generalized DS diagram(以下GSと略する)に対しその変形を定義し、「同相な多様体を与えるGSはGS変形で移りあえる」事を証明します。S変形の定義を変更しました。箱根の定義のままだとS変形がG変形の逆にはならないので…。GSの定義等は[3]を参考にして下さい。

定義1 [GS変形]  $GS \Sigma = (S, G, f)$  に対し2種類の変形を定義するが、そのため最初に次を定義する。 $\tau$ をGS  $\Sigma$ から定義される involution とする。 $S$ の点 $q$ がループ $C$ の極限点 (limit point) であるとは、 $\Sigma$ のある面 $X$ ,  $C \cap X$ の点列 $\{p_n\}$ ,  $C \cap G$ の点 $p$ が存在して、 $p = \lim_{n \rightarrow \infty} p_n$  かつ  $q = \lim_{n \rightarrow \infty} \tau(p_n)$  となっているときをいう。 $C$ の極限点全体の集合を  $\lim(C)$  と書く。 $S$ 上のloop  $C$ が次の条件を満たしているとき  $\Sigma$  に関し一般の位置 (general position) にあるという。

- (1)  $C \cap V(G) = \emptyset$
- (2)  $C$  と  $G$  は transversal
- (3)  $\lim(C) \cap C = \emptyset$
- (4)  $C$  と  $\tau(C - G)$  は transversal

$B = B_1 \cup \dots \cup B_p$ ,  $\partial B = S = S_1 \cup \dots \cup S_p$  とする。 $C$ は $\Sigma$ に関し general position であるとする。 $C$ を bound する  $B$ 内の proper な 2-disk を  $D$  とする。 $D$ はある  $B_i$  内で proper になっている。 $B_i$ を  $D$ で cut してできる 3-ball を  $B_{i1}$ ,  $B_{i2}$  とする。 $S' = S_1 \cup \dots \cup S_{i-1} \cup \partial B_{i1} \cup \partial B_{i2} \cup S_{i+1} \cup \dots \cup S_p$ ,  $G' = \tilde{G} \cup C_1 \cup C_2 \cup \tau(C - G)$  とおく。ただし  $C_1, C_2$  は  $\partial B_{i1}, \partial B_{i2}$  における  $C$  のコピーで、 $\tilde{G}$  は  $S'$  における  $G$  のコピー。 $f'$  は  $S - C$  上では  $f$  と同じ、 $D_1, D_2$  を  $D$  のコピーとすると、 $D_j$  上では 2 つを対応点において張り合わせる写像とする。このとき  $\Sigma' = (S', G', f')$  は GS になる (命題2参照)。この変形を  $C$  に沿った (または  $D$  に沿った) S変形 (spoon cut, S deformation) と呼ぶ。

$X, Y$  を GS  $\Sigma$  のある面とする。ただし、

- (1)  $f(X) = f(Y)$
- (2)  $\bar{X}, \bar{Y}$  は 2-disk,
- (3)  $X$  と  $Y$  は異なる 2-sphere に乗っているとする。

$X$  は  $S_1$  上  $Y$  は  $S_2$  上 にとっていると仮定する。このとき  $S' = (S_1 - X) \cup_f (S_2 - Y) \cup S_2 \cup \dots \cup S_p$ ,  $G' = (G - X - Y) \cup V(G)$ ,  $f' = f|_{S'}$  とおくと、 $\Sigma' = (S', G', f')$  も GS

になる。この変形を  $X$  に沿った (または  $Y$  に沿った)  $G$  変形 (*glue, G deformation*) と呼ぶ。

$S$  変形と  $G$  変形を有限回繰り返して得られる変形を  $GS$  変形 (*GS deformation*) と呼ぶ。

図1は *general position* でない例である。左図は極限点が  $C$  上にのっている。右図は  $C$  と  $\tau(C-G)$  が接している。いずれの場合も  $C$  をわずかに変形すれば *general position* になる。DS diagram は池田 (1-2)。

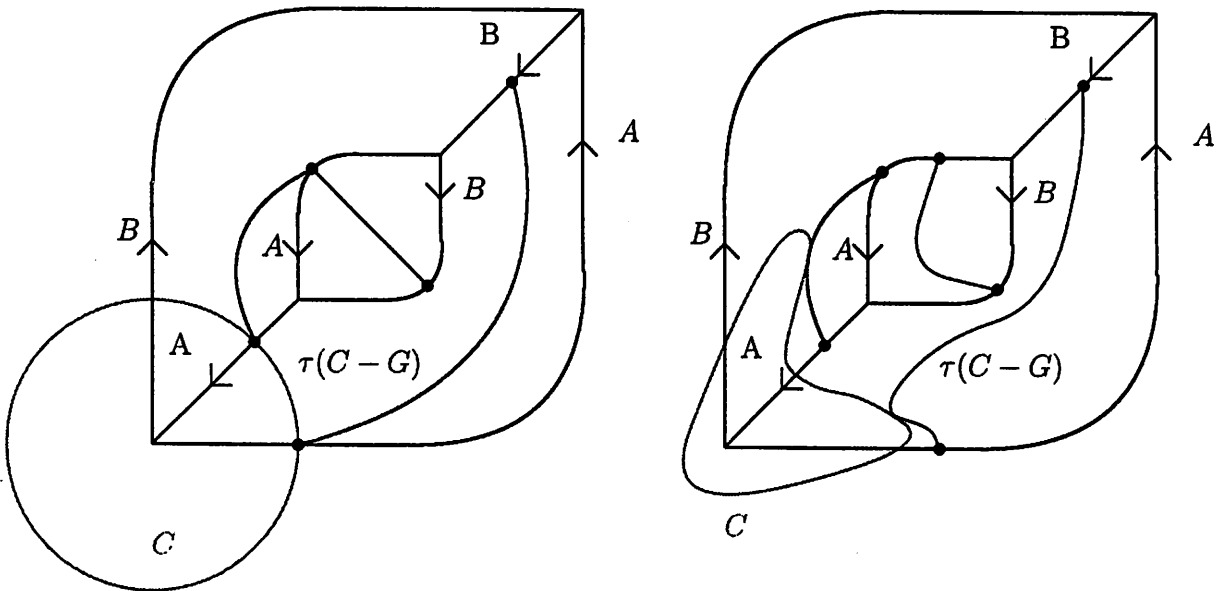


図 1

DS diagram の基本的な DS 変形である  $\Phi^-$  変形,  $\Phi^+$  変形,  $\Psi^-$  変形,  $\Psi^+$  変形 [6] は  $GS$  変形になる。DS 変形はこれらの有限列で書けるので, DS 変形は  $GS$  変形である事が分かる。

DS 変形では 2 辺形つぶし等を行うときに, 同じラベルの disk はつながない等の禁則条件が存在したが,  $GS$  変形の場合, この禁則条件は必要ない。

$GS$  を  $\Sigma = (S, G, f)$  とする。  $S = \bigcup_{i=1}^p S_i$  とするとき,  $n(\Sigma) = \|S\| = p$  をこの  $GS$  の球面数 (*sphere number*) と呼ぶ。 $\Phi$  変形,  $\Psi$  変形, piping は球面数を変えない  $GS$  変形である。

命題 2  $S$  変形,  $G$  変形で得られる polygram は  $GS$  になる。

証明 S変形, G変形の結果が polygram([2] 参照) になる事は容易に分かる。あとは  $G'$  が 3-regular になる事,  $f'$  が面上で 2 対 1, 辺上で 3 対 1, 頂点上で 4 対 1 をチェックすればよい。

定理 3 連結な多様体を表現する GS は GS 変形で DS にできる。

多様体が連結でない場合この定理は勿論成立しない。前半はこれを目標に GS を「整形」していく。以下多様体は連結とする。

定義 4 GS の面  $X$  が開円板のとき, この面は円板型 (disk type) であるという。GS のすべての面が円板型のとき, この GS を円板型 (disk type) と呼ぶ。

命題 5 GS は GS 変形で球面数を変えずに, 円板型にできる。

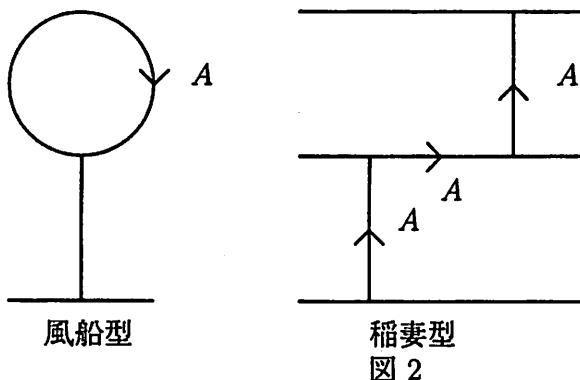
補題 6 ([3])  $X$  を planar surface,  $\tau$  を  $X$  上の free involution とする。  $p, q \in \partial X$  で  $\tau(p) \neq q$  かつ  $p, q$  は  $\partial X$  の別の component に乗っているとする。このとき  $X$  の proper な arc  $m$  で,  $\partial m = \{p, q\}, m \cap \tau(m) = \emptyset$  を満たすものが存在する。

命題 5 の証明: 円板型でない面  $X$  が存在したとする。  $\tau$  に関し equivariant な  $G$  の regular neighborhood  $U(G)$  を 1 つ固定する。  $(S - \overset{\circ}{U}(G)) \cap X = X'$  に補題 6 を適用し, arc  $m'$  を取ってくる。  $\partial m'$  が  $E(G)$  上にあり,  $m' \cap \tau(m' - G) = \emptyset$  となる様に  $m'$  を  $m$  まで延長しておく。  $m$  に沿った piping を実行すると  $X$  の boundary component の数が 1 つ減る。この変形は新たに annulus 等を発生させない。

定義 7 GS の面  $X$  に対し,  $\overline{X}$  が閉円板のとき, この面を純円板型 (pure disk type) という。各面が純円板型のとき, この GS を純円板型 (pure disk type) と呼ぶ。

命題 8 GS は GS 変形で球面数を変えずに, 純円板型にできる。

補題 9 GS は piping を用いてループ型の辺をなくせる。特に円板型 GS は円板型を保ったまま, 球面数を変えずにループ型の辺をなくせる。ここで辺  $e$  がループ型とは  $f(e)$  がループになる場合をいう。



証明 ループ型は図2の様に風船型 [ 辺  $e$  に対し  $f^{-1}f(e)$  の成分の閉包の中にループが存在する ] と稲妻型 (ジグザグ型) [  $f^{-1}f(e)$  の成分の閉包はすべてループではない ] の2つがある。風船型は図3の様に最初に  $PQRS$  のラベルのついたループに関し  $S$  変形を行い,  $Q$  をラベルにもつ2角形で  $G$  変形を行う (点線に沿った piping でもある)。稲妻型の場合も同様な変形を行えば図4の様に消す事ができる。このとき新たにループ型の辺は生じていない。 ■

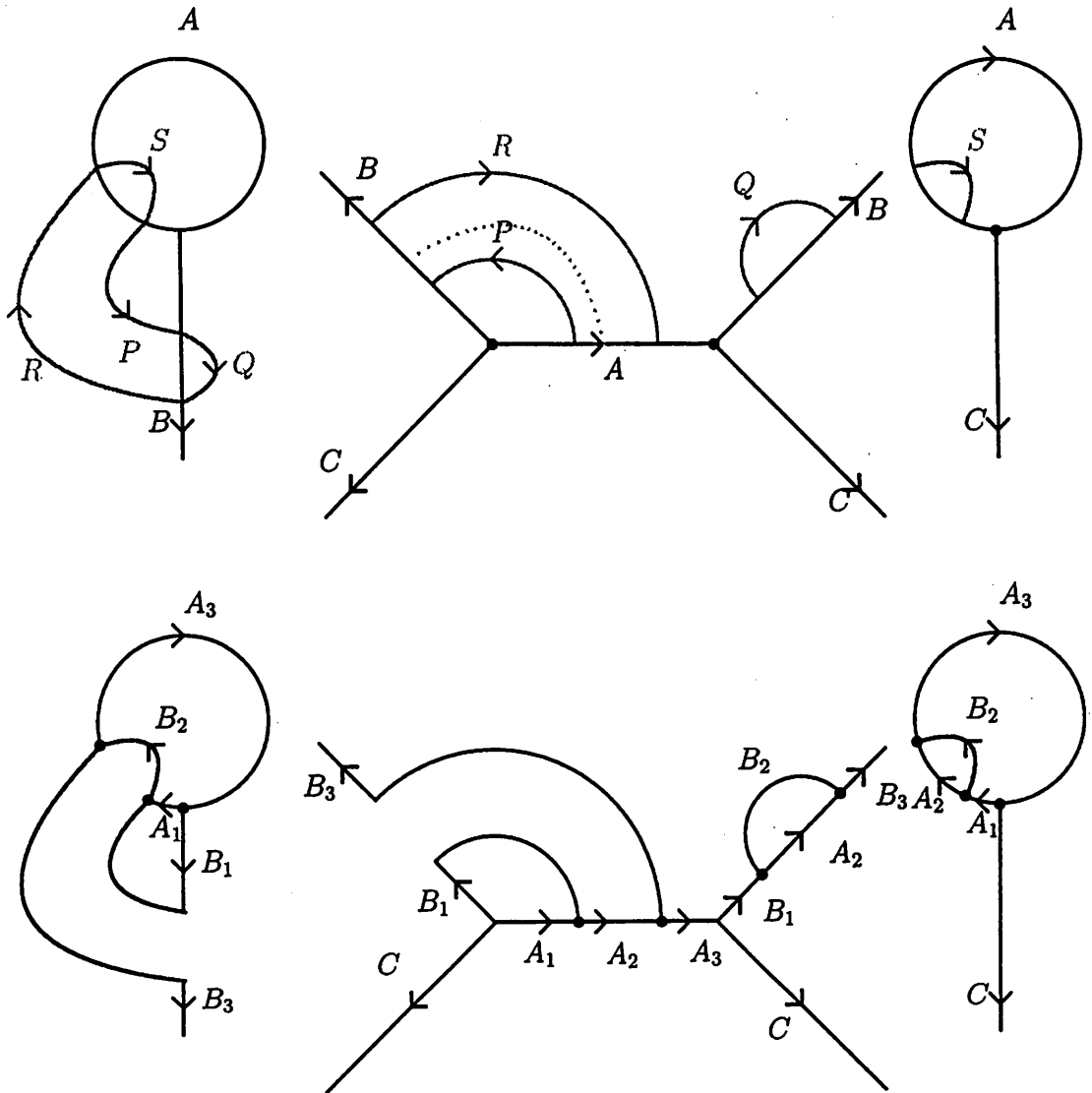


図 3

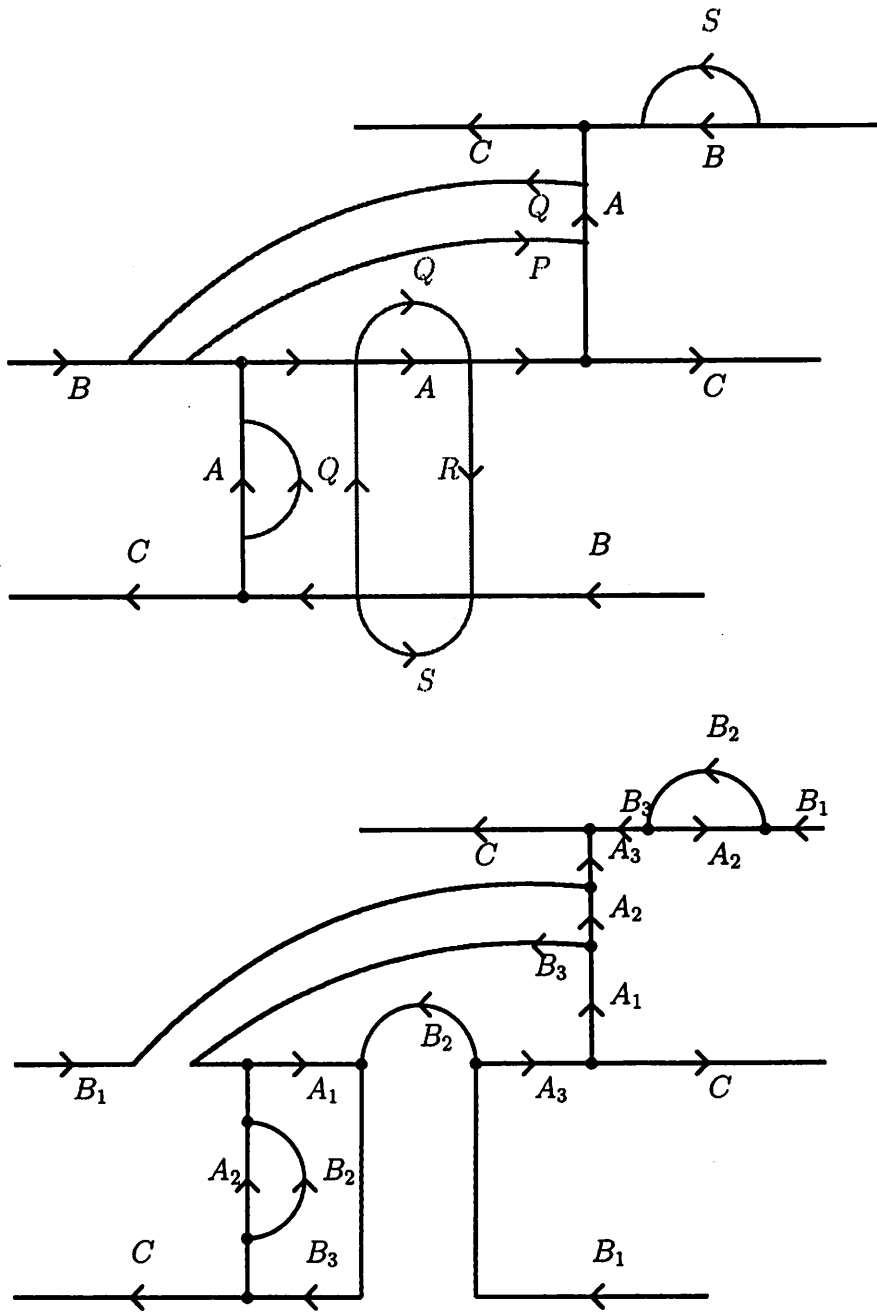
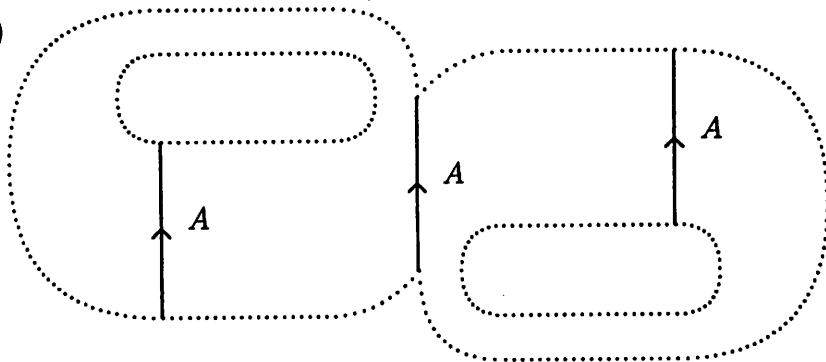


図 4

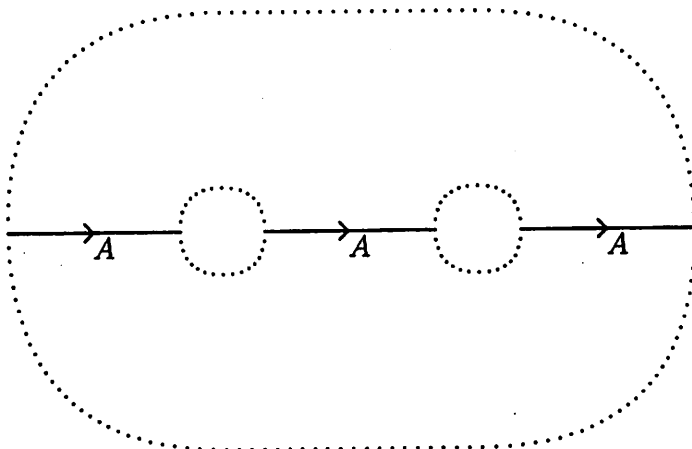
命題 8 の証明： 最初に GS を円板型に変形しておく。更に補題 9 を使ってループ型の辺をなくしておく。面  $X$  の boundary  $\partial X$  に同じラベルが複数回出てくるのは図 5 で尽くされる。この中の (3-1), (2-1) をなくす事ができれば命題 8 が示される。

[62]

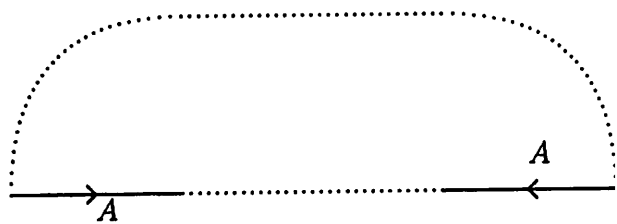
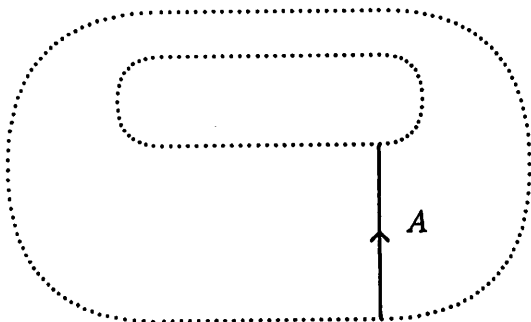
(3-1)



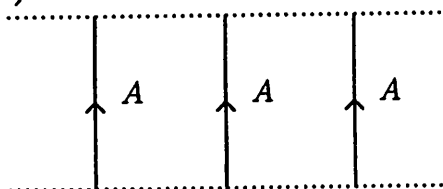
(3-2)



(2-1)



(2-2)



(2-3)

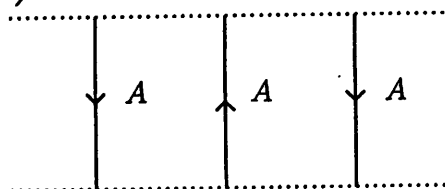


图 5

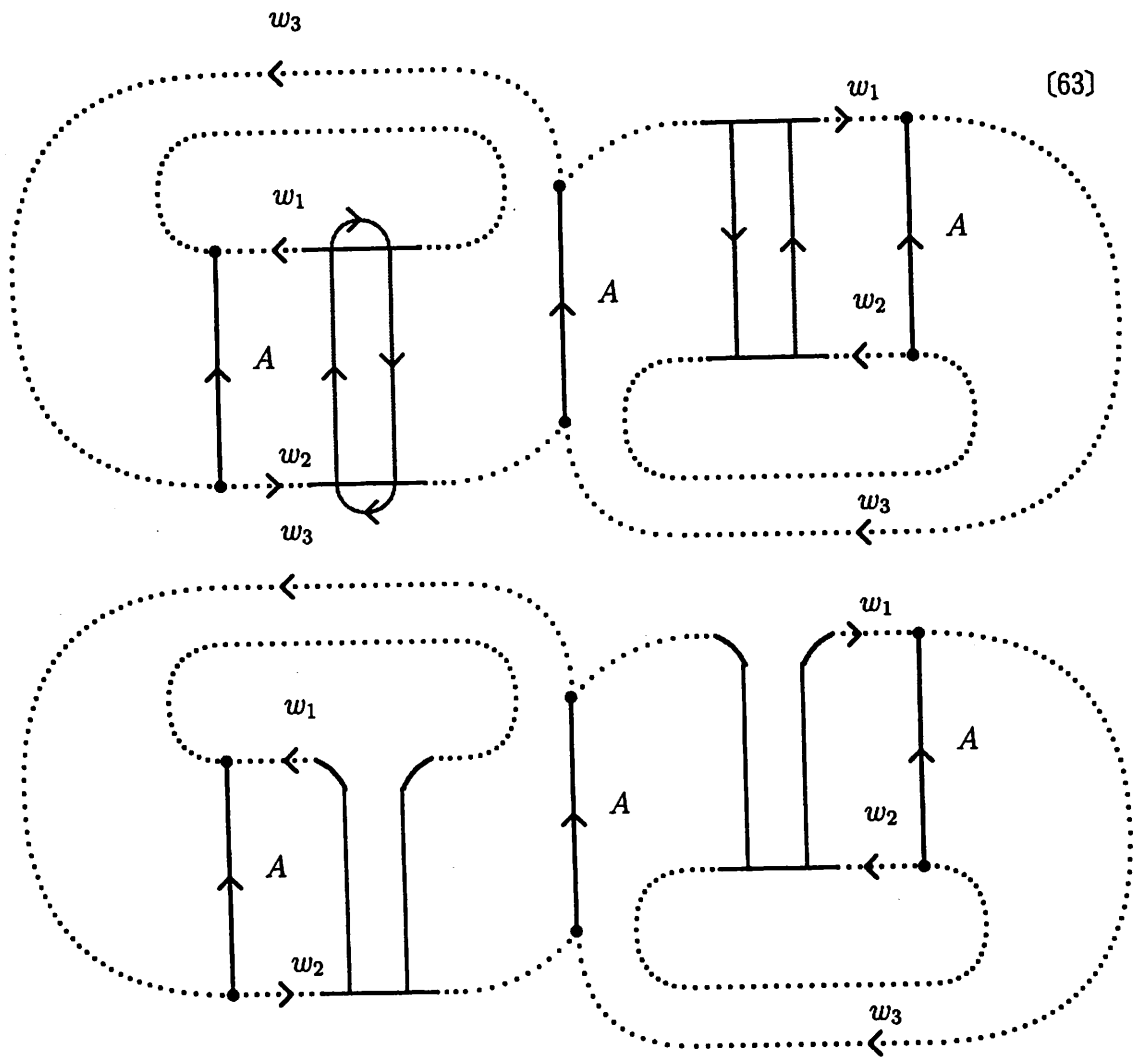


図 6

図 6 の様に (3-1) の場合 piping をする事により消す事ができる。このとき他の面  $Y$  で  $\bar{Y}$  が 2-disk でなくなるものはない。

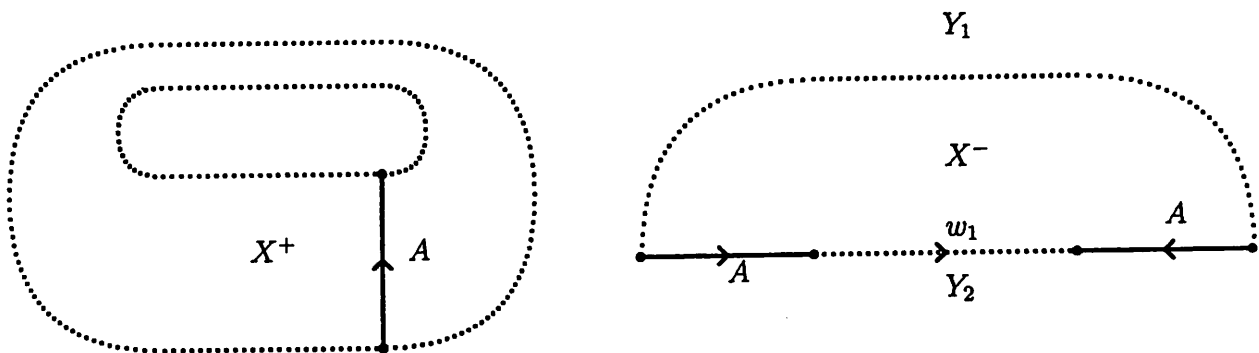


図 7

(2-1) の場合：図7の  $X^-$  のまわりの面  $Y_1, Y_2$  で  $Y_1 \neq Y_2$  となるものが存在するとき、そこで piping をすれば消す事ができて、新たに発生する面  $Z$  で  $\bar{Z}$  が 2-disk ではないものは存在しない。よって  $\partial X^-$  の点線部分 (のちょっと外側) はすべてある面  $Y^+$  に属すると仮定する。 $w_1$  の最初の辺のラベルを  $C$  とする。 $w_1$  の内点には頂点が存在するので (存在しなければ  $A$  はループ型), そこから下向きでできる辺のラベルを  $D$  とする。また  $X^-$  の左の  $A$  から下向きに出ている辺のラベルを  $B$  とすると図8の様になっている。

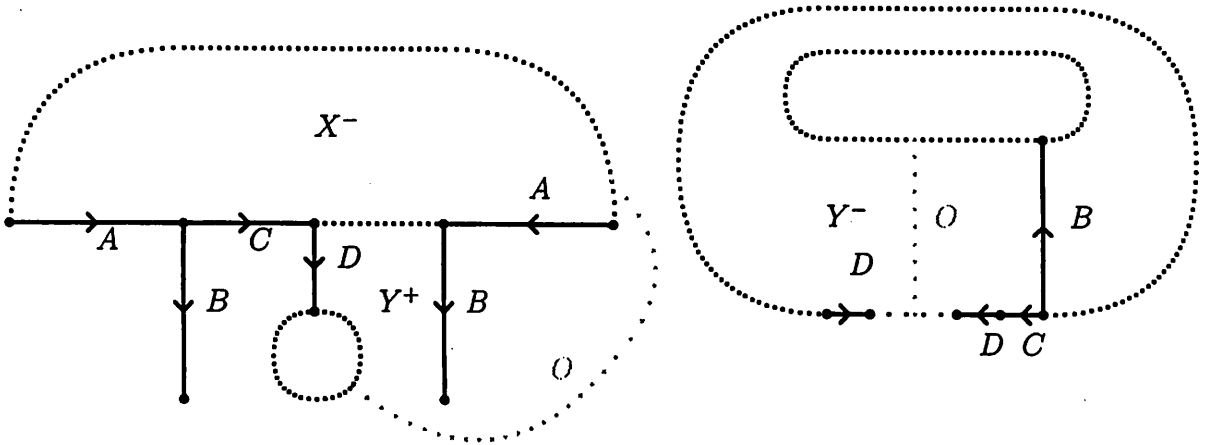


図 8

図8のオレンジ色 (カラーでないのでわかりませんね。Oです。) の点線の様にそこに沿って piping を行う場所がある。(Bに関する場所だが) その境界に同じラベルが複数回出てくる面の数は少なくなる。よってすべて消す事ができる。

更に (3-2), (2-2), (2-3) もなくせて次が成立する。

命題 10 各面  $X$  に対し  $\partial X$  の中に同じ 1-label がないように piping で変形できる。

証明 (3-2) は piping で (2-3) に変形できる。

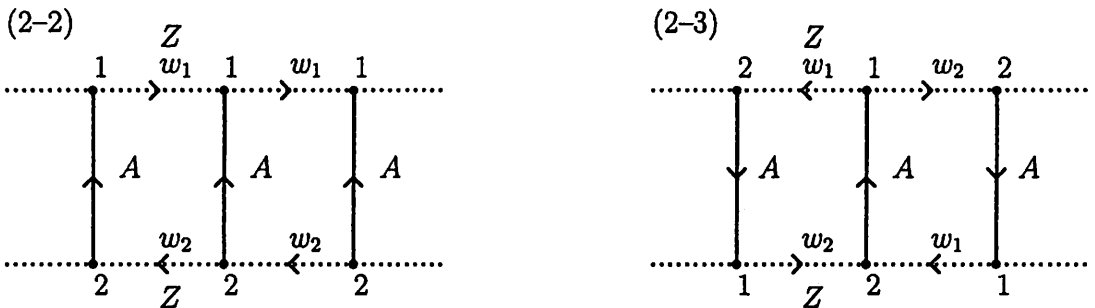


図 9



(2-2), (2-3) いずれの場合も上と下の面が異なればそこで piping が出来る。そこで上の面と下の面は同じ  $Z$  であるとする。 $w_1$  の最初の辺のラベルを  $B$  とすると、ラベル  $B$  をもつ  $X$  の2つの辺が  $f$  で同一視されることはない。このときこれらの辺は、ここに現れていないラベル  $B$  をもつ辺の両側と同一視されるが、これは球面上ではおきない。よってどこかで piping できる。

定義 11 GS の面  $X$  に対し  $Y$  をその張り合う相手とする。即ち  $f(X) = f(Y)$  とする。

$X \neq Y$  となる  $Y$  が存在する場合、 $X$  と  $Y$  が同じ sphere にのっているとき自己型 (self type), 異なる sphere にのっているとき他型 (other type) と呼ぶ。 $X \neq Y$  となる面がないとき、即ち自分自身で張りつくときも自己型 (self type) と定義する。このとき自分自身で張りつく事を強調して自己同一視型 (self identified type) とも呼ぶ。

定理 3 の証明： 球面数に関する induction で示す。

(1) : (球面数が 1 の場合) 命題 5 より、球面数を変えずに円板型にできる。このとき 3 重型の辺を持たなければ DS になっている。3 重型を持つ場合、円盤型という事から、辺はこれのみである事が分かる (多様体は  $L(3, 1)$ )。辺の部分で local に piping をすると円盤型が一旦崩れる (グラフが連結でなくなる)。もう一度 piping をしてグラフを連結にすると、DS になっている。

(2) : (球面数  $p$  が 2 以上の場合) 球面数が  $p$  より小さいとき成立を仮定する。

命題 8 より純円板型に変形する。面がすべて自己型のときは多様体が連結にならない。よって他型の面  $X$  が存在する。3 重型の辺が他型になる事はありえない。 $X$  にそって  $G$  変形をすると球面数が 1 つ減る。 ■

次に Heegaard splitting と GS の関係を考え、次の定理を証明する。

定理 12 2 つの GS  $\Sigma, \Sigma'$  が同じ多様体を表現するとき、GS 変形で移りあえる。

ここでは次の定理に依存した証明を与える。

定理 13 (Reidemeister–Singer–Chillingworth–Craggs)  $M$  の 2 つの Heegaard splitting は安定同値である。

[1],[4],[5] 等を参考の事。

$(H_1, H_2)$  を  $M$  の Heegaard splitting とする。handle body  $H_i$  ( $i = 1, 2$ ) の complete meridian disk system  $\vec{D}_i = D_{i1} \cup \cdots \cup D_{in}$ , が与えられたとき  $(H_1, H_2; \vec{D}_1, \vec{D}_2)$  を  $M$  の Heegaard diagram と呼ぶ。(通常の設定は  $(H_1; \partial \vec{D}_2)$  の様です。)

Heegaard diagram  $(H_1, H_2; \vec{D}_1, \vec{D}_2)$  が与えられたとき,  $H_i$  を  $\vec{D}_i$  でカットして  
 できる 3-球体を  $B_i^3$  とし,  $\partial B_i^3 = S_i$  とする ( $i = 1, 2$ )。また  $\vec{D}_i$  の  $S_i$  上におけるコ  
 ピーを  $\vec{D}_i, \vec{D}_i'$  とすし,

$$G_i = \partial \vec{D}_j \cap \partial \vec{D}_i' \cup (\partial \vec{D}_j \cap S_i) \subset S_i$$

とおく。ただしここで  $\{i, j\} = \{1, 2\}$  とする。  $S = S_1 \cup S_2$ ,  $G = G_1 \cup G_2$  とお  
 く。  $f$  は  $S_i - \partial \vec{D}_i$  上では Heegaard splitting の張り合わせから決まるもの,  $\vec{D}_i$  と  
 $\vec{D}_i'$  は対応する点が張り合わせられるものとする。この  $\Sigma$  は GS になる。この  $\Sigma$  を  
 Heegaard diagram から決まる GS と呼ぶ。

定義 14 GS  $\Sigma$  が次の 3 つの条件を満たすとき H 型 (H type) という。

- (1)  $\Sigma$  の球面数は 2 である。
- (2) 自己型の面  $X$  は純円板型。
- (3) 自己型の面  $X, Y$  に対し  $X \neq Y$  ならば  $\bar{X} \cap \bar{Y} = \emptyset$  である。

次の命題は容易に分かる。

命題 15 Heegaard diagram から決まる GS は H 型である。逆に H 型の GS に対  
 しある Heegaard diagram が存在して, GS は その Heegaard diagram から決まっ  
 てる。

命題 16 GS  $\Sigma$  は GS 変形で H 型にできる。

証明 定理 3 より  $\Sigma$  を DS に変形しその後, S 変形を用いて球面数を 2 にしてお  
 く。命題 8, 10 を用いて純円板型にしておく。H 型の条件 (1), (2) は満たされてい  
 る。このとき, これを崩さないように (3) の条件を満たすように変形できればよい。

自己型の面  $X, Y$  に対し  $X \neq Y$  かつ  $\bar{X} \cap \bar{Y} \neq \emptyset (= \text{edge})$  となるものがなけれ  
 ば定理は成立する。その様な辺の個数についての induction で示す。

1 個もなければ (3) の条件は満たされている。存在しているとき, その辺のラベ  
 ルを  $A$  とする。その横の面  $W$  で他型なものが存在する。もし存在しなければ面  
 $X$  を含む球面はすべて自己型になり, 多様体为非連結になる。  $A$  の所で pipping を  
 行う。図 10 の様に変形できる。  $x$  が自己型のとき  $y$  は他型,  $x$  が他型のとき  $y$  は自  
 己型になっている。  $A$  での自己型の張り付きは解消されている。純円板型が崩れ  
 る場合があるが, これが起るのは  $x$  が他型の場合のみである。このとき純円板  
 型でなくなる 2-disk は他型のみであり, 自己型が純円板型でなくなる事はない。

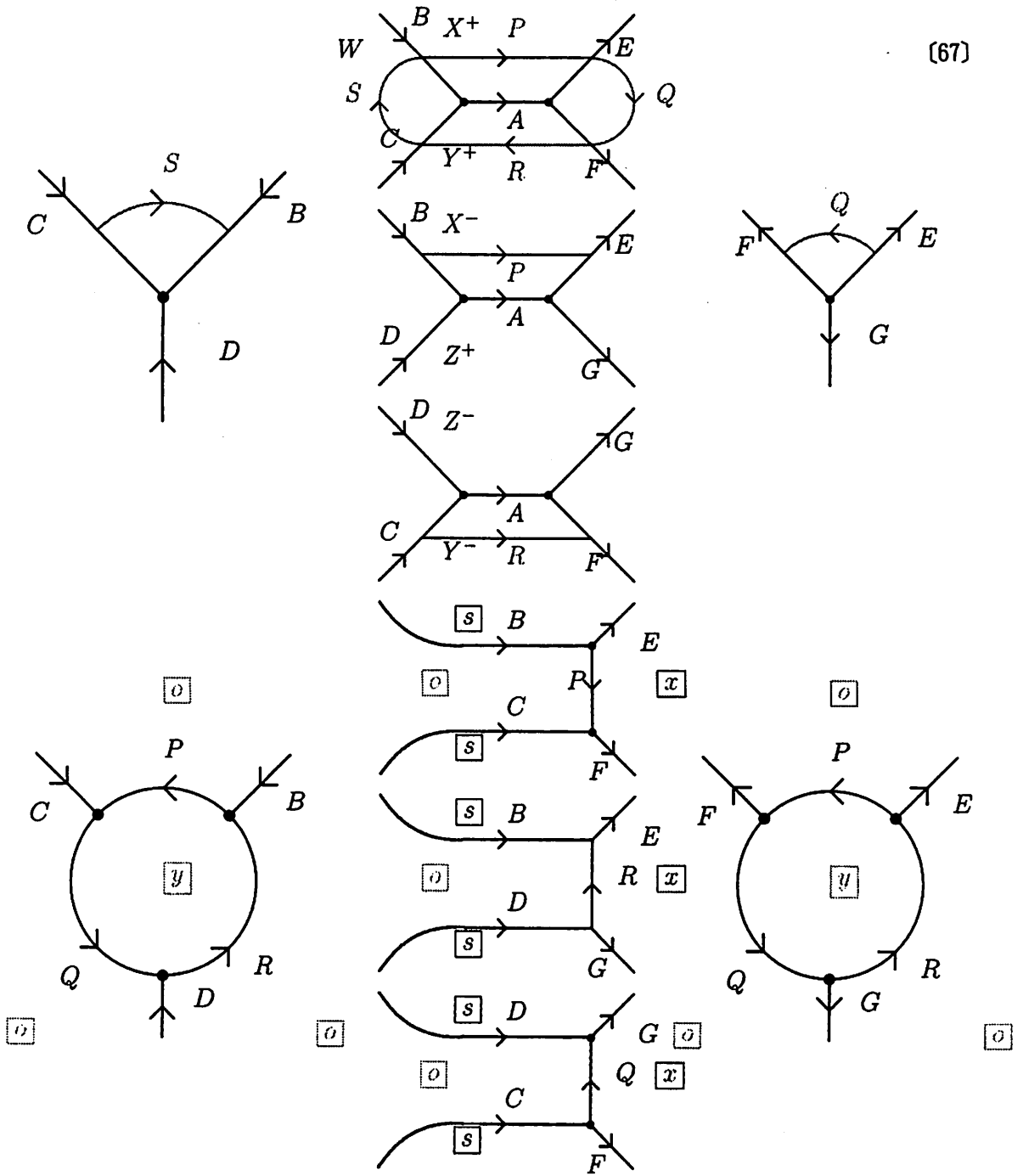


図 10

補題 17 Heegaard splitting において trivial な handle を付け加える変形は、対応する GS の GS 変形で実現できる。

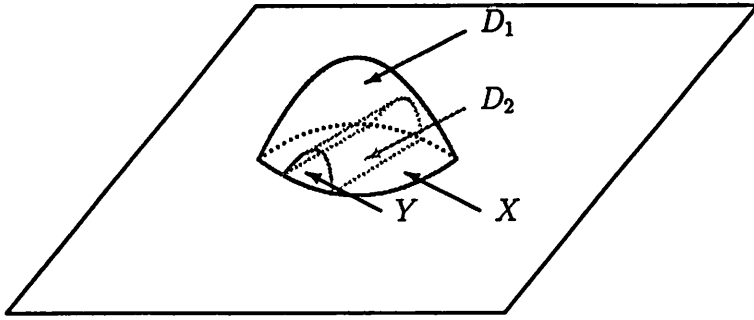


図 11

$D_1$  で S 変形,  $D_2$  で S 変形, X で G 変形, Y で G 変形を実行すればよい。この変形を GS 上で見ると図 12 の様になっている。 ■

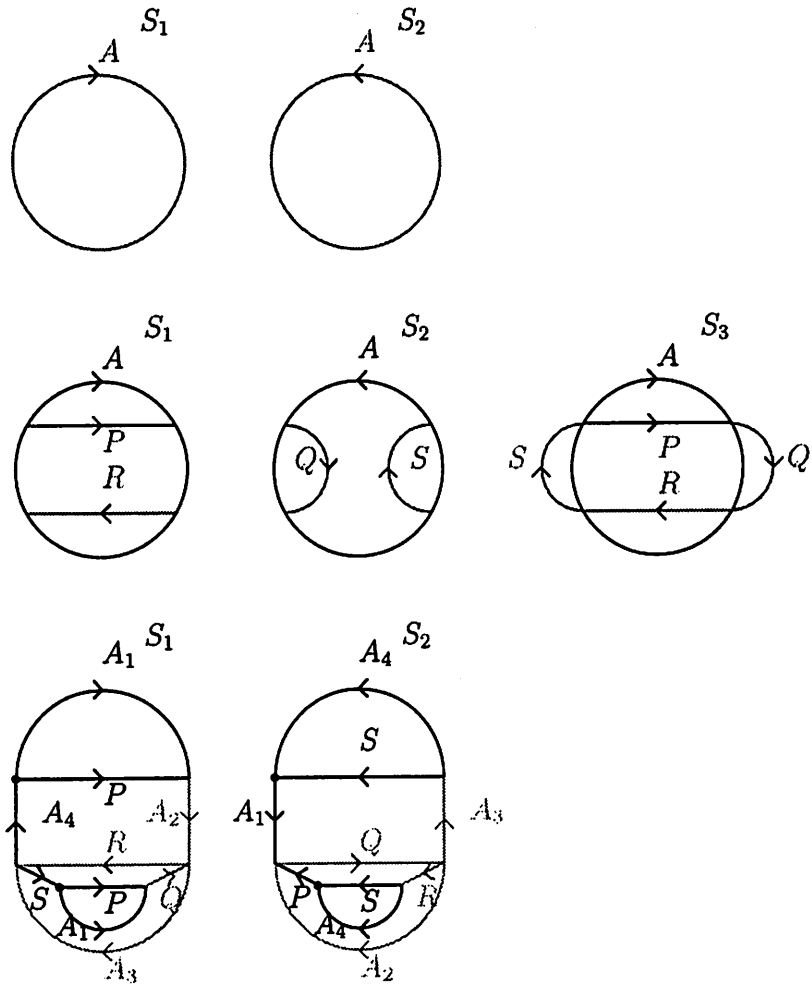


図 12

定理 12 の証明： 最初に GS  $\Sigma, \Sigma'$  を GS 変形で H 型にする。次に定理 13 と補題 17 を用いて対応する Heegaard splitting が同値になる様に GS 変形をする。 $\Sigma$  に対応する Heegaard diagram を  $(H_1, H_2; \vec{D}_1, \vec{D}_2)$ ,  $\Sigma'$  に対応する Heegaard diagram を  $(H'_1, H'_2; \vec{D}'_1, \vec{D}'_2)$  とする。 $F = H_1 \cap H_2, F' = H'_1 \cap H'_2$  とおくと、2 つの Heegaard diagram が定める Heegaard splitting は同値なので、 $M$  上の同相写像  $g$  が存在して  $g(F') = F$  となる。よって  $\Sigma'$  と同値な GS  $\Sigma''$  が存在して、 $\Sigma, \Sigma''$  に対応する Heegaard surface はどちらも  $F$  となる。以上より  $\Sigma'$  に対応する Heegaard surface も  $F$  とする。

$\vec{D}_1$  と  $\vec{D}'_1, \vec{D}_2$  と  $\vec{D}'_2$  が共に parallel のとき  $\Sigma$  と  $\Sigma'$  は GS 同値である。parallel のとき GS 上では次図のようになっている。

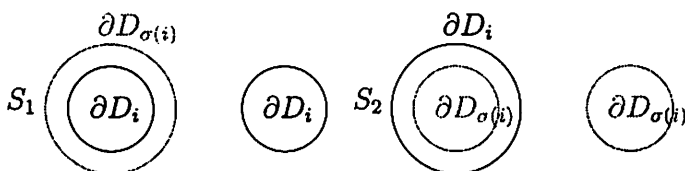


図 13

(1) :  $\vec{D}_1 \cap \vec{D}'_1 = \emptyset$  のとき GS 変形でお互いを parallel にできる事を示す。

parallel な相手を持たない  $c' = \partial D'_i$  が存在したとする。 $S_1$  上で  $c'$  をみると次図の様になっている。ここで  $d_j = D_{\sigma(j)}$  とする。

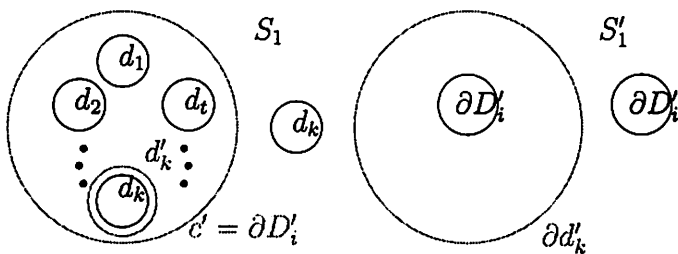


図 14

$i \neq j$  で  $\sigma(i) = \sigma(j)$  となるものが存在する  $d_i, d_j$  を内側とでも呼んでおこう。内側でない  $d_i$  を外側とでも呼ぶ。外側が存在しなければ  $D'_i$  で cut すると非連結になるので外側は存在する。すべての外側に対し parallel な相手が存在すればそれらで cut すると非連結になる。よって parallel な相手を持たない外側が存在する。 $H_1 - \bigcup_{j \neq i} D'_j$  は連結なので、 $F$  上の loop  $\beta$  で  $D'_i$  と 1 点で交わるものが存在する。

この loop が  $D'_i$  からでて最後に交わる parallel な相手を持たない外側であるものを  $d_k$  とおく。  $d_k$  と parallel な disk を  $d'_k$  とする。

$S'_1$  に対し  $\partial d'_k$  に沿って S 変形を行い、その後  $\partial D'_i$  に沿って G 変形を行う。  $S'_1$  上で  $\partial d'_k$  は 2 つの  $D'_i$  を separate しているので可能である。できた新しい GS においては meridian disk が  $D'_i$  から  $d'_k$  に変わっていて、平行な disk が 1 つ増えている。

(2)  $\vec{D}_1 \cap \vec{D}_2 \neq \emptyset$  のとき : GS 変形で intersection の個数を減らせる事を示せばよい。  $\vec{D}_1$  上で  $\vec{D}_1$  との intersection を見る。そのなかで outermost なものを  $d$  とする。  $d \subset D_i$ ,  $\partial d \subset D_i \cup D'_j$  とする。  $\partial d$  (の一部の arc) は  $D_j$  を 2 つの部分  $D'_{j1}$ ,  $D'_{j2}$  に分ける。(これでは不十分。次に変更。  $D'_{j1} \cup d$  または  $D'_{j2} \cup d$  の少なくとも一方は  $V'_1 - \bigcup_{k \neq j} D'_k$  を separate しない。今それを  $D'_{j1}$  とする。)  $\partial d$  は  $S'_1$  を 2 つの部分に分けるが、もう一方の  $D'_j$  を含んでいる方を  $D'_{j1}$  とする。

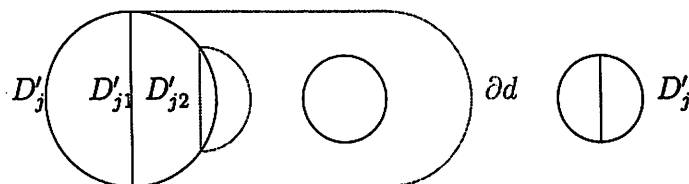


図 15

$d$  を parallel に  $D'_{j1}$  の方向に動かした disk を  $d'$  とする。  $\partial d'$  に沿って S 変形を行い、その後  $D'_{j2}$  に沿って G 変形を行う。 ■

## 参考文献

- [1] R. Craggs, A New proof of the Reidemeister– Singer theorem on stable equivalence of Heegaard splittings, proc. AMS ,57 (1976), 143–147
- [2] 池田裕司, 横山和夫, 山下正勝, polygram とその基本変形, Theory of Spines of 3-manifolds, 数理解析研究所講究録 563(1985)
- [3] 河野正晴, 一般化された DS diagram について, 箱根セミナー記録 2001
- [4] 本間龍雄, 組合せ位相幾何学, 共立出版
- [5] J. Singer, Three-dimensional manifolds and their Heegaard diagrams, Trans. Amer. Math. Soc., 35 (1933), 88–111
- [6] 山下正勝, DS-変形の生成元について, 箱根セミナー記録 1998